



Akademia Górniczo-Hutnicza
im. Stanisława Staszica

Sprawozdanie
Sterowanie układów liniowych
Laboratorium 4, 5

Borsuk Piotr
Nr albumu 416947
Technologie Przemysłu 4.0
Grupa nr 1
Rok akademicki 2023/2024

Charakterystyka czwórnika



Schemat 1. Czwórnik z dwoma wejściami i dwoma wyjściami

Transmitancje dla sygnału $M = 0$

$$G_1(s) = \frac{I(s)}{U(s)} \quad (1)$$

$$G_2(s) = \frac{\Omega(s)}{U(s)} \quad (2)$$

Transmitancje dla sygnału $u = 0$

$$G_3(s) = \frac{I(s)}{M(s)} \quad (3)$$

$$G_4(s) = \frac{\Omega(s)}{M(s)} \quad (4)$$

Charakterystyki, będą tworzone dla następujących równań:

$$u = Ri + L \frac{di}{dt} + kw \quad (5)$$

$$J \frac{dw}{dt} = ki - M \quad (6)$$

Dane:

$$R = 0.465 \, \Omega$$

$$L = 0.015 \, \text{H}$$

$$J = 2.5 \, \text{Nm}^2$$

$$k = 2.65$$

$$u = 450 \, \text{V}$$

Zadanie 1.1

Obliczono transmitancje dla

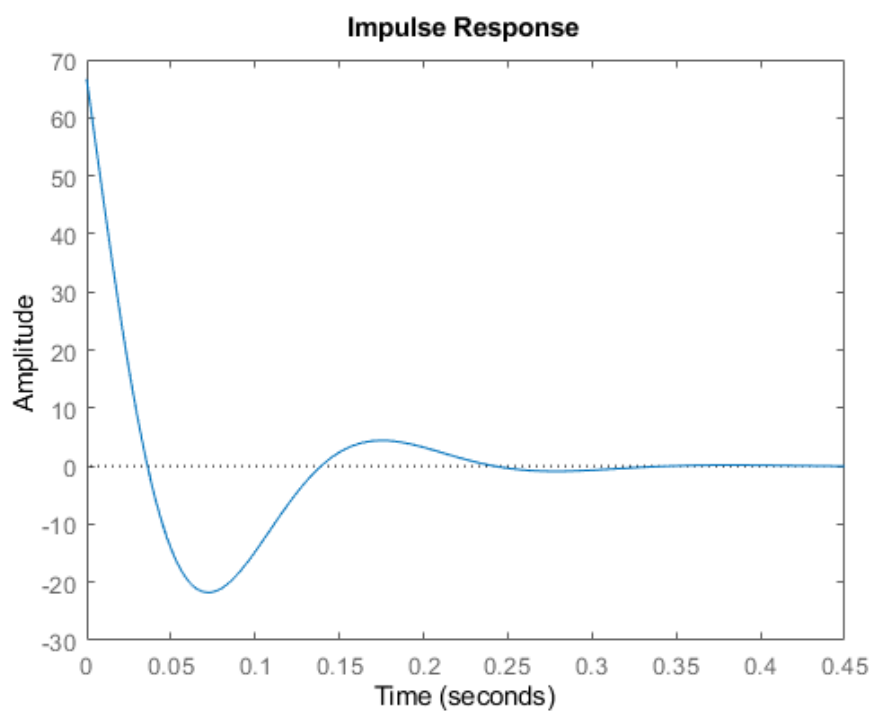
$$G_1(s) = \frac{\frac{1}{L}s}{s^2 + \frac{R}{L}s + \frac{k^2}{LJ}} \quad (7)$$

Utworzono:

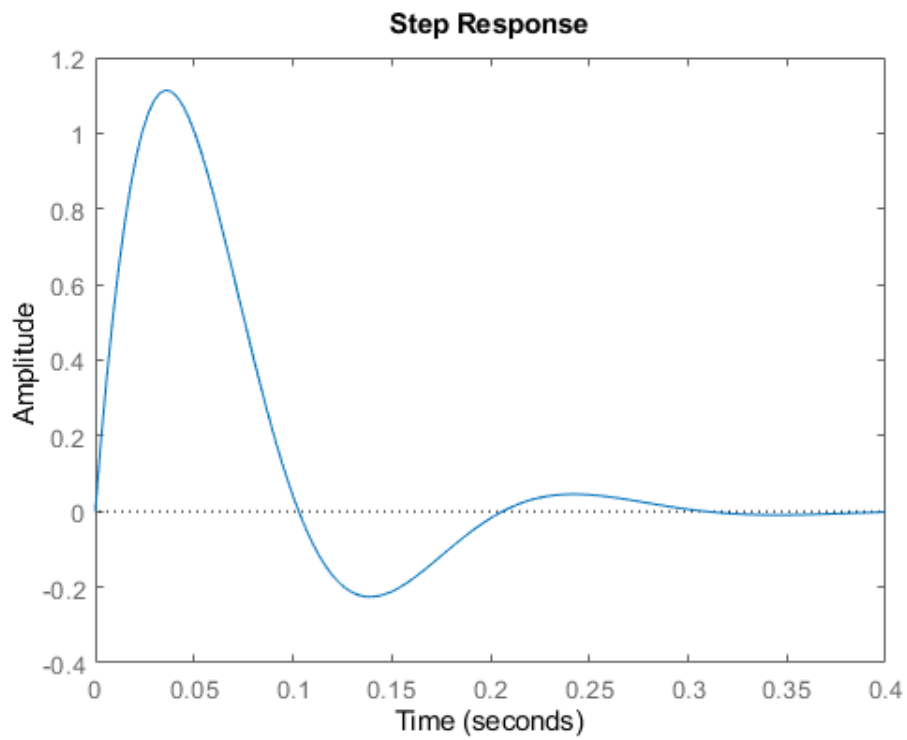
- Odpowiedź impulsową
- Odpowiedź skokową
- Charakterystyka Bodego
- Odpowiedź Nyquista

Kod:

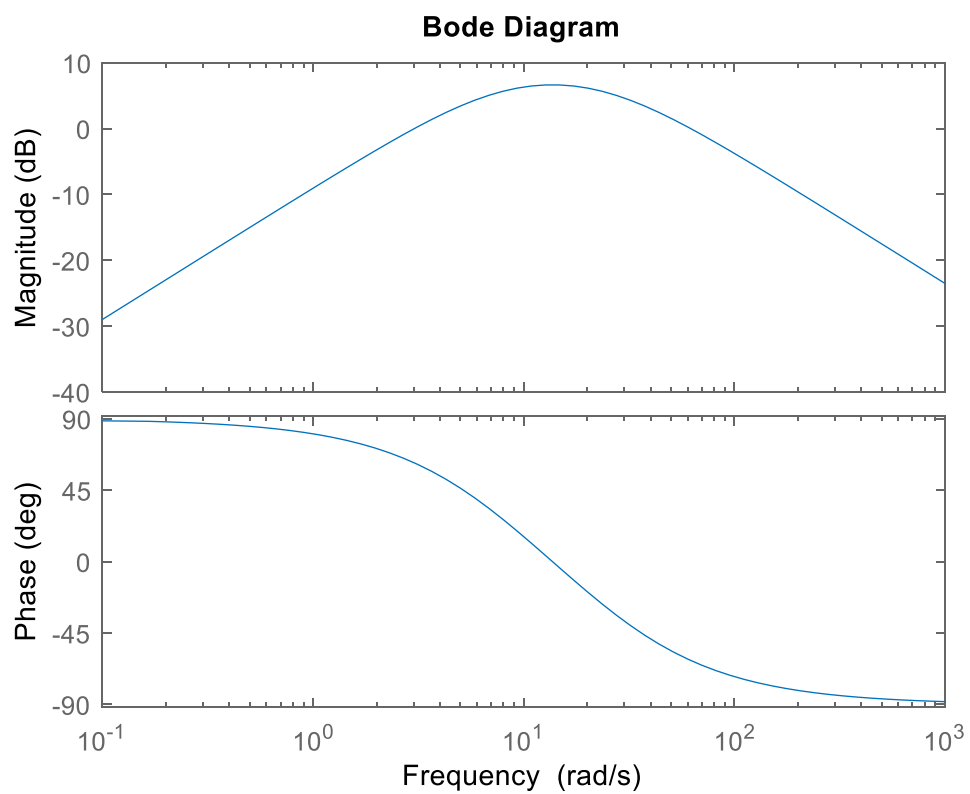
```
clc
clear
close all
R = 0.465;
L = 0.015;
J = 2.5;
k = 2.65;
u = 450;
figure(1)
impz([1/L, 0],[1, R/L, (k^2)/L*J])
figure(2)
step([1/L, 0],[1, R/L, (k^2)/L*J])
figure(3)
bode([1/L, 0], [1, R/L, (k^2)/(L*J)])
figure(4)
nyquist([1/L, 0], [1, R/L, (k^2)/(L*J)])
grid on
hold off
```



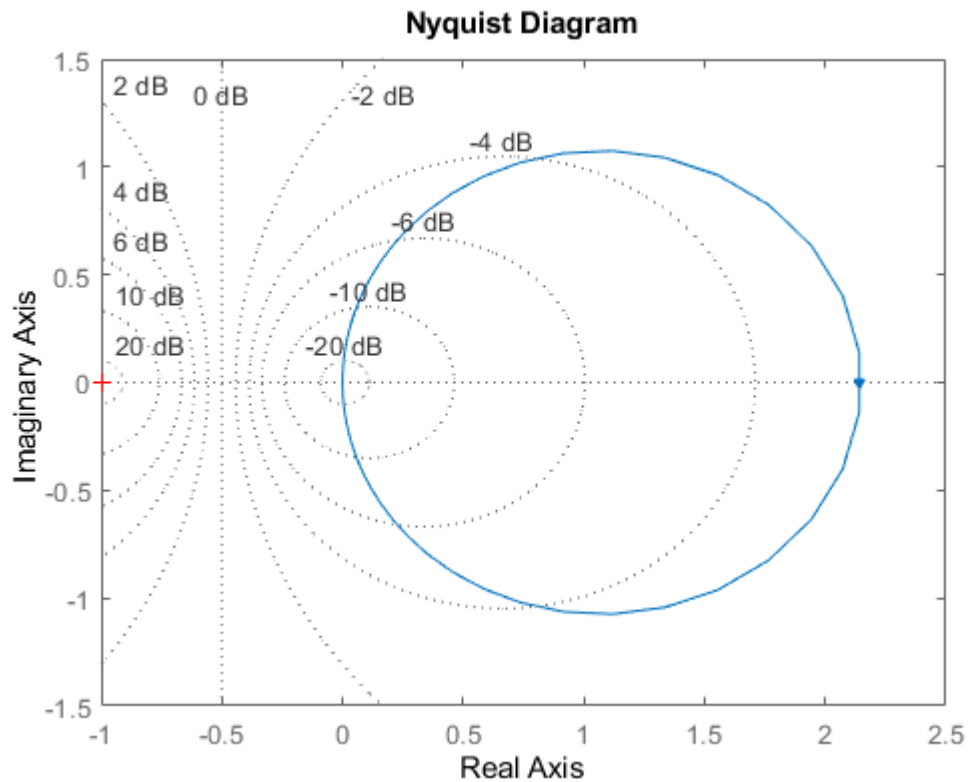
Wykres 1. Odpowiedź impulsowa $G_1(s)$



Wykres 2. Odpowiedź skokowa $G_1(s)$



Wykres 3. Charakterystyka Bodego $G_1(s)$



Wykres 4. Charakterystyka Nyquista $G_1(s)$

Zadanie 1.2

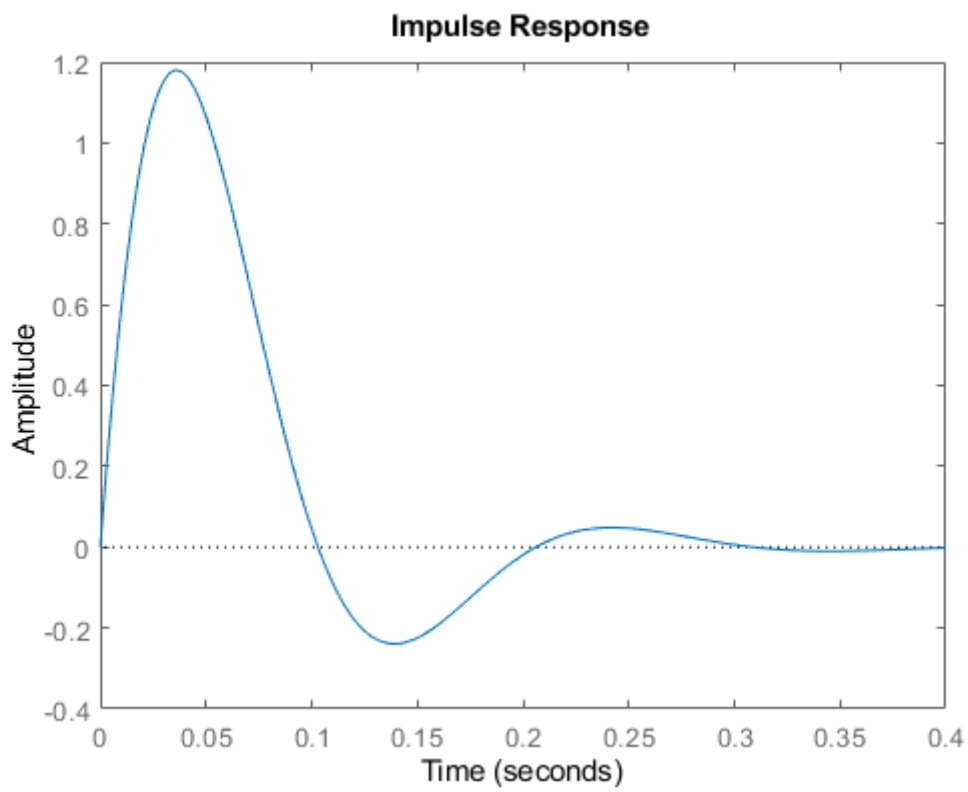
Utworzono takie same charakterystyki dla transmitancji:

$$G_2(s), G_3(s) = \frac{\frac{k}{LJ}}{s^2 + \frac{R}{L} + \frac{k^2}{LJ}} \quad (8)$$

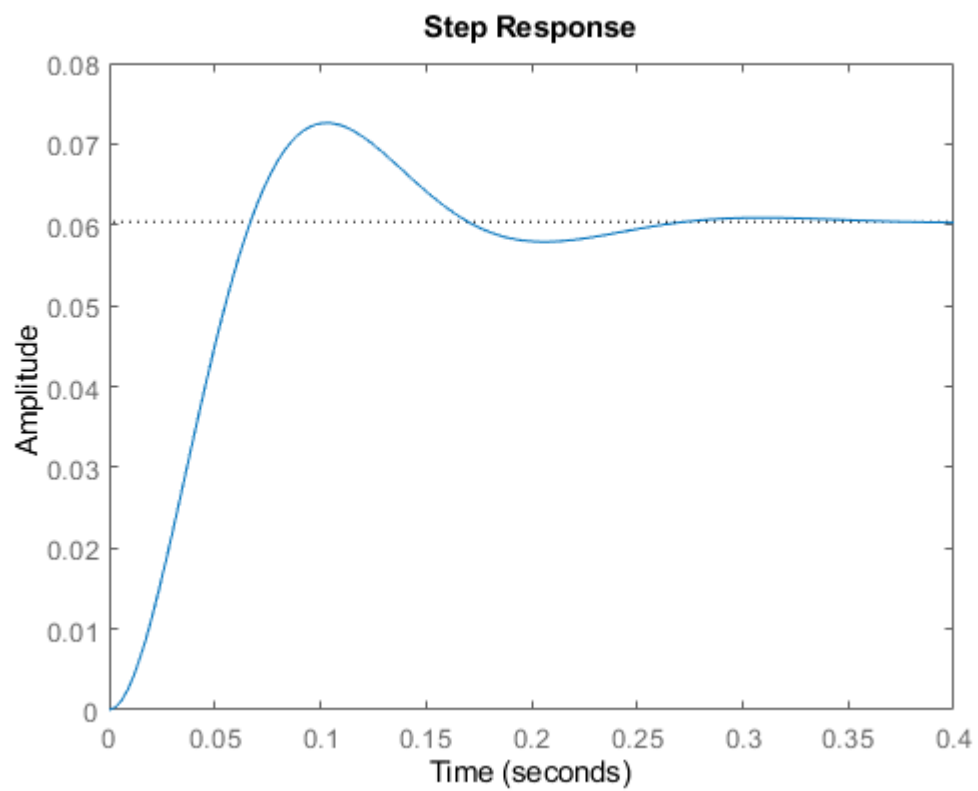
Kod:

```
clc
clear
close all
R = 0.465;
L = 0.015;
J = 2.5;
k = 2.65;
u = 450;
figure(1)
impz([0, k/(L*J)], [1, R/L, (k^2)/L*J])
figure(2)
step([0, k/(L*J)], [1, R/L, (k^2)/L*J])
figure(3)
bode([0, k/(L*J)], [1, R/L, (k^2)/L*J])
figure(4)
```

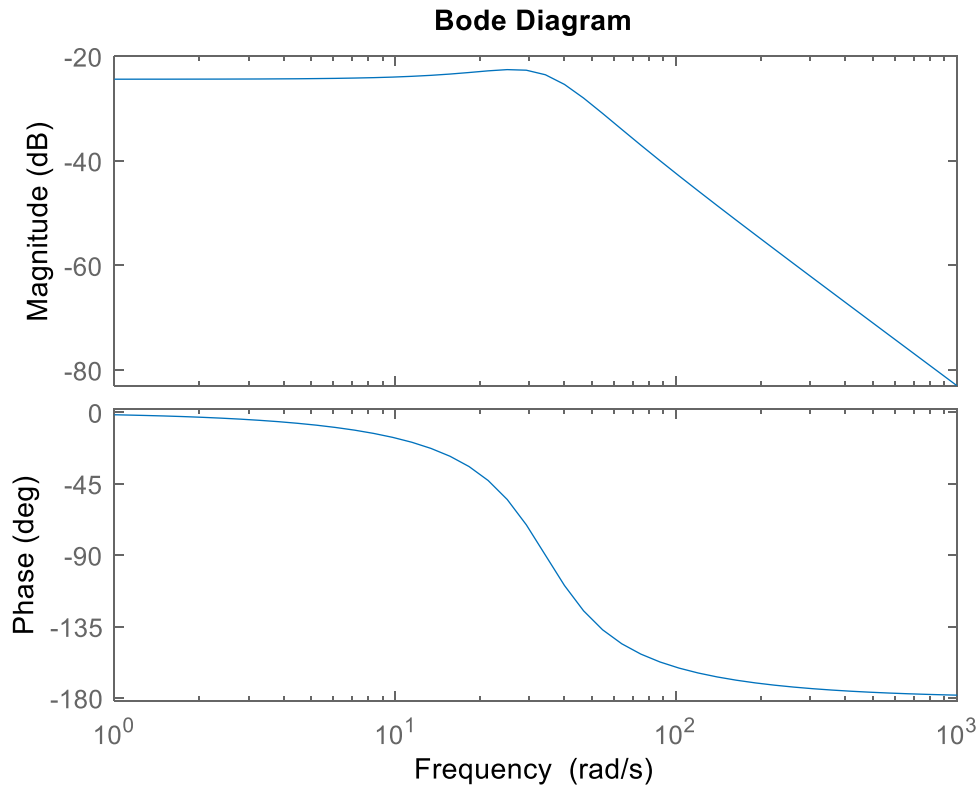
```
nyquist([0,k/(L*J)], [1,R/L, (k^2)/L*J])
grid on
hold off
```



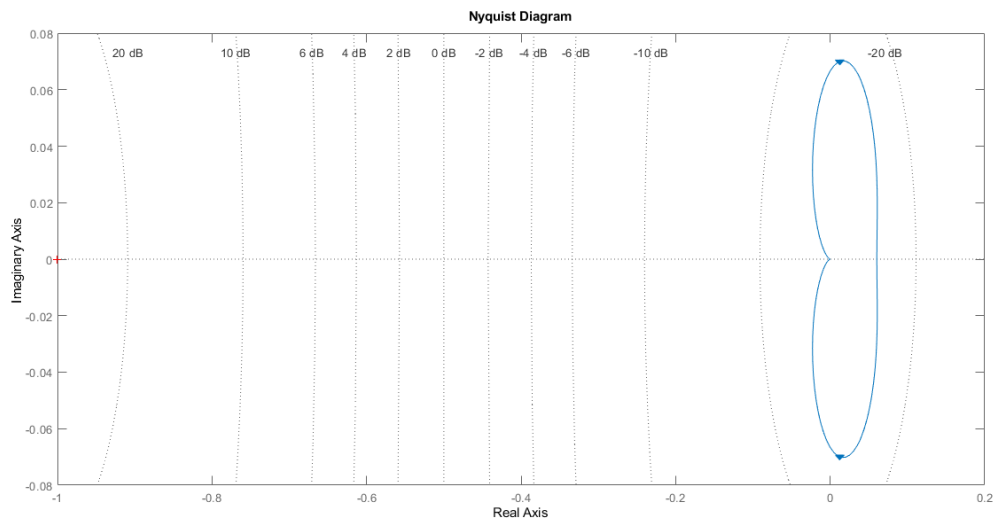
Wykres 5. Odpowiedz impulsowa $G_2(s), G_3(s)$



Wykres 6. Odpowiedź skokowa $G_2(s), G_3(s)$



Wykres 7. Charakterystyka Bodego $G_2(s), G_3(s)$



Wykres 8. Charakterystyka Nyquista $G_2(s), G_3(s)$

Zadanie 1.3

Utworzono takie same charakterystyki dla transmitancji:

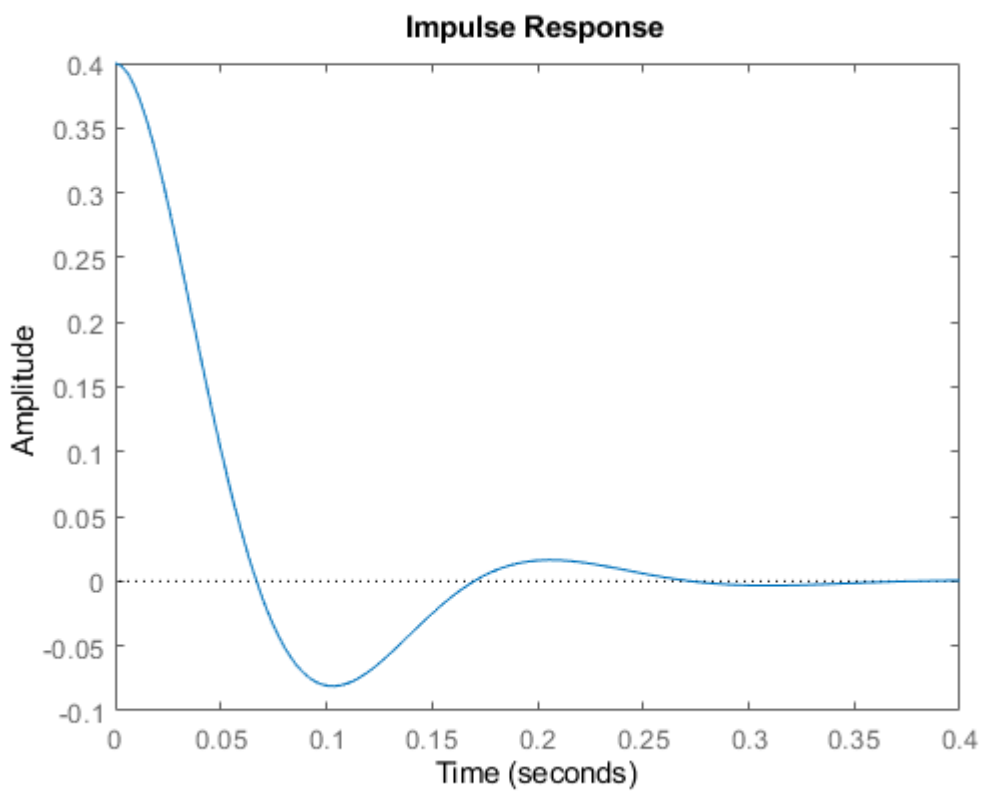
$$G_4(s) = \frac{\frac{1}{J}s + \frac{R}{LJ}}{s^2 + \frac{R}{L} + \frac{k^2}{LJ}} \quad (9)$$

Kod:

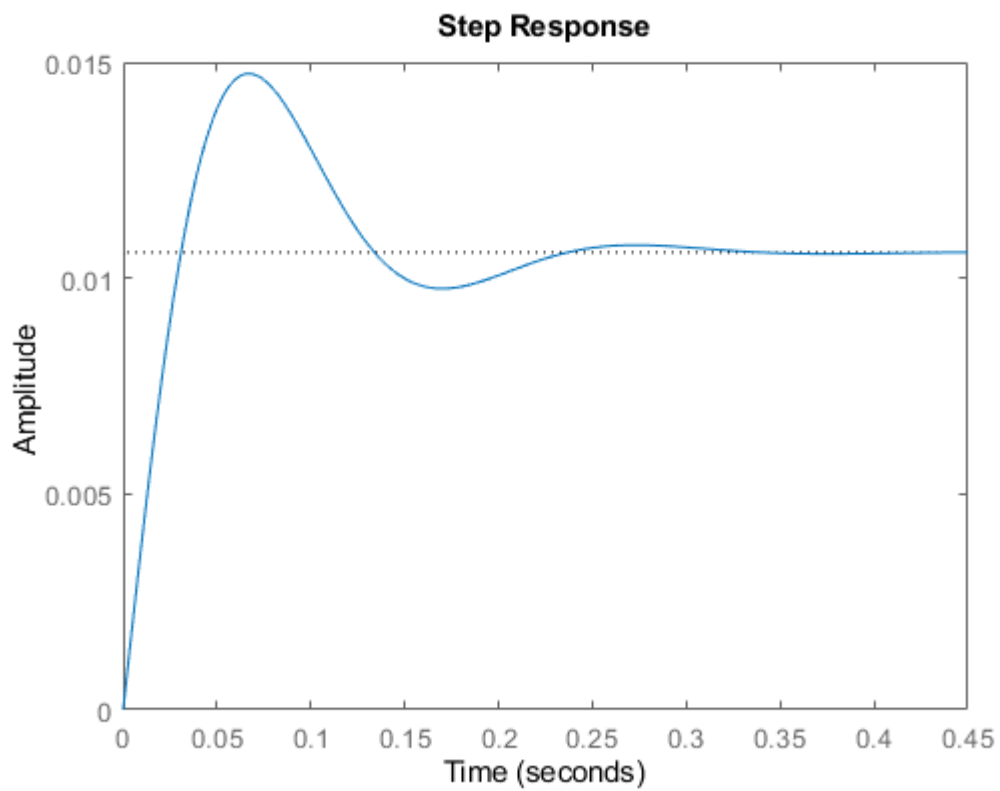
```
clc
clear
close all
R = 0.465;
L = 0.015;
J = 2.5;
k = 2.65;
u = 450;

figure(1)
impz([1/J,R/(L*J)],[1,R/L,(k^2)/L*J])
figure(2)
step([1/J,R/(L*J)],[1,R/L,(k^2)/L*J])
figure(3)
bode([1/J,R/(L*J)],[1,R/L,(k^2)/L*J])
figure(4)
nyquist([1/J,R/(L*J)],[1,R/L,(k^2)/L*J])

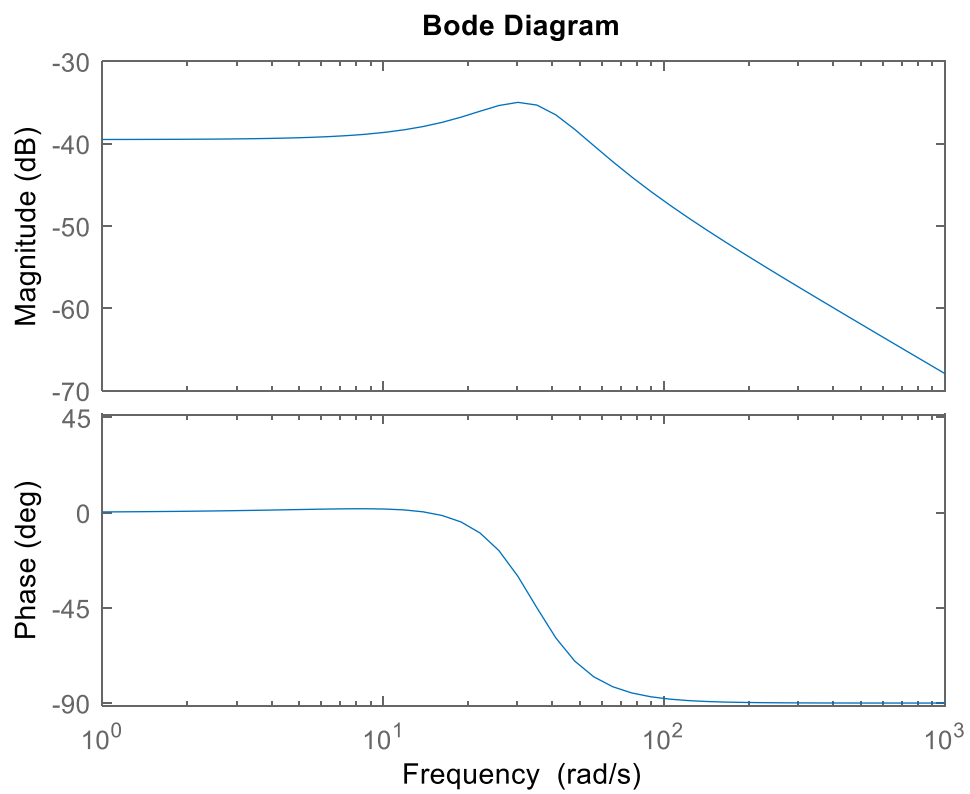
grid on
hold off
```



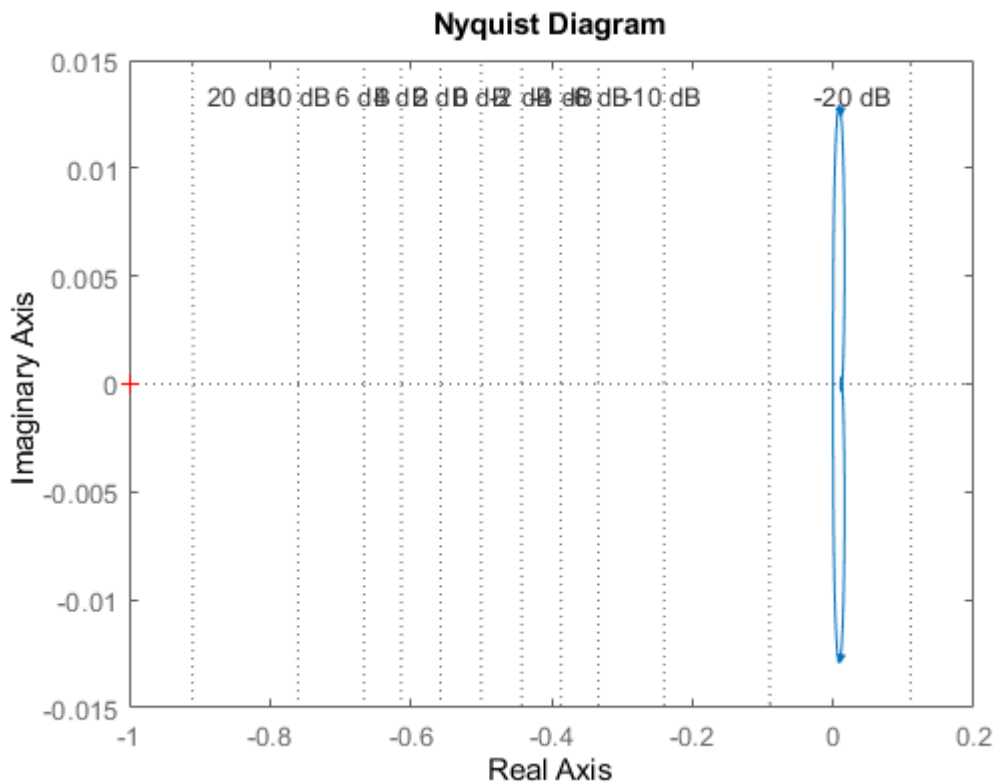
Wykres 9. Odpowiedź impulsowa $G_4(s)$



Wykres 10. Odpowiedź skokowa $G_4(s)$



Wykres 11. Charakterystyka Bodego $G_4(s)$



Wykres 12. Charakterystyka Nyquista $G_4(s)$

Zadanie 2

Utworzono symulacje w Simulinku. Po przekształceniach początkowych równań dochodzimy do postaci:

$$\frac{di}{dt} = -\frac{R}{L}i - \frac{k}{L}w + \frac{1}{L}u \quad (10)$$

$$\frac{dw}{dt} = \frac{k}{J}i - \frac{1}{J} \quad (11)$$

Są dane wartości:

$$R = 0.465 \, \Omega$$

$$L = 15 \, \text{mH}$$

$$J = 2,5 \, \text{Nm}^2$$

$$k = 2.65$$

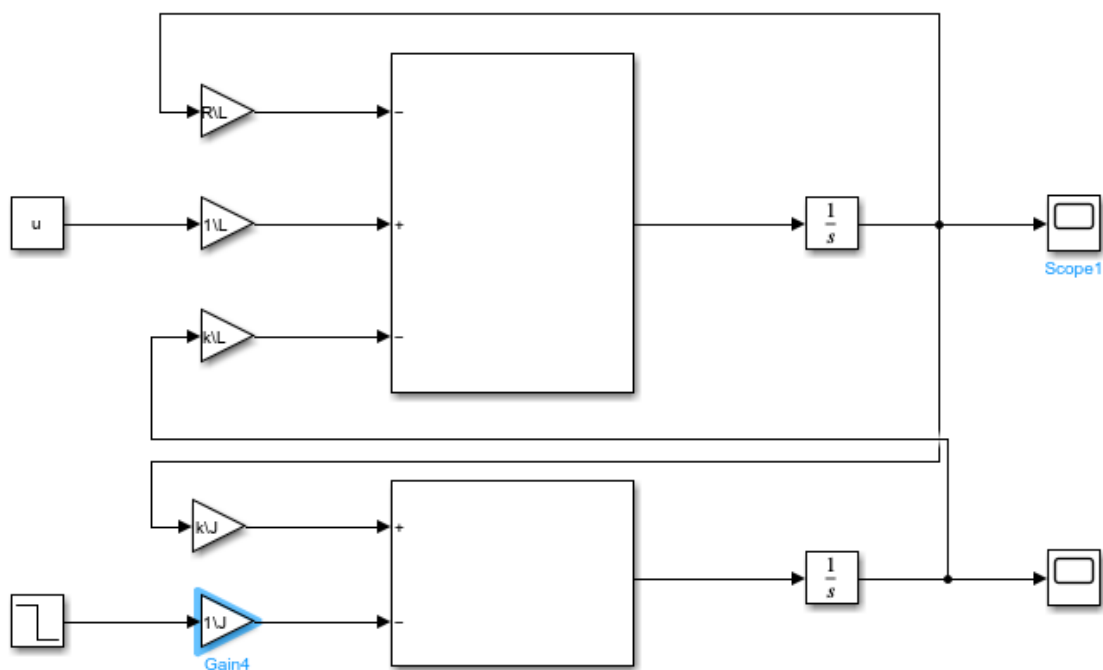
$$U = 450 \, \text{V}$$

Step: Initial value = 150

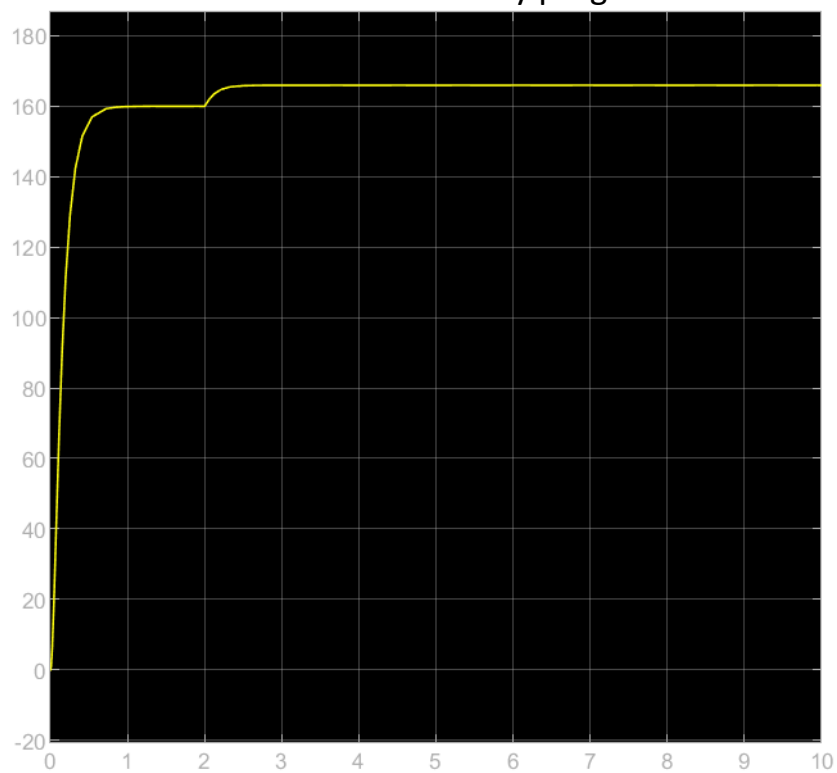
Final value = 60

Step time = 2

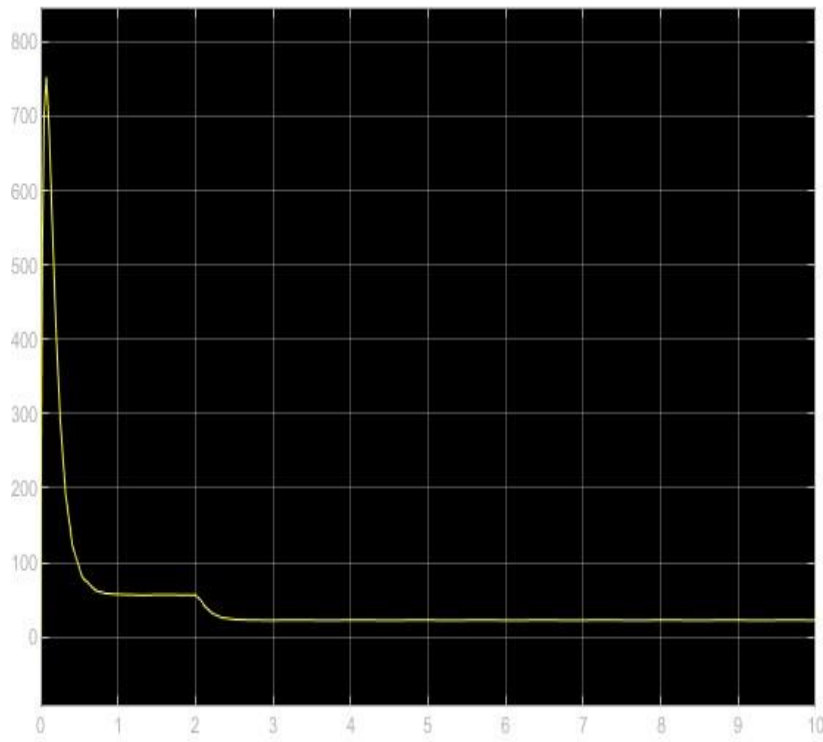
Wykorzystujemy następujące elementy: constant, step, gain, sum, integrator oraz scope.



Schemat 2. Model skonstruowany programie Simulink



Wykres 13. Odpowiedź elementu Scope 1



Wykres 14. Odpowiedź elementu Scope 2

Zadanie 3

Dla przekształconych równań stworzono symulację bez wykorzystania programu simulink.

$$\frac{di}{dt} = -\frac{R}{L}i - \frac{k}{L}w + \frac{1}{L}u$$

$$\frac{dw}{dt} = \frac{k}{J}i - \frac{1}{J}w$$

Będziemy korzystać z dwóch skryptów

Skrypt 1 – o nazwie „silnik”, która jest funkcją obliczającą

Skrypt 2 – wykorzystuje skrypt 1, żeby narysować charakterystyki

Kod „silnik”:

```
function dx = silnik(t,x)
```

```
R = 0.465;
```

```
L = 0.015;
```

```
J = 2.5;
```

```
k = 2.65;
```

```
u = 450;
```

```
if t<2
```

```
    M = 150;
```

```
else
```

```
    M = 50;
```

```
end
```

```
i = x(1);
```

```

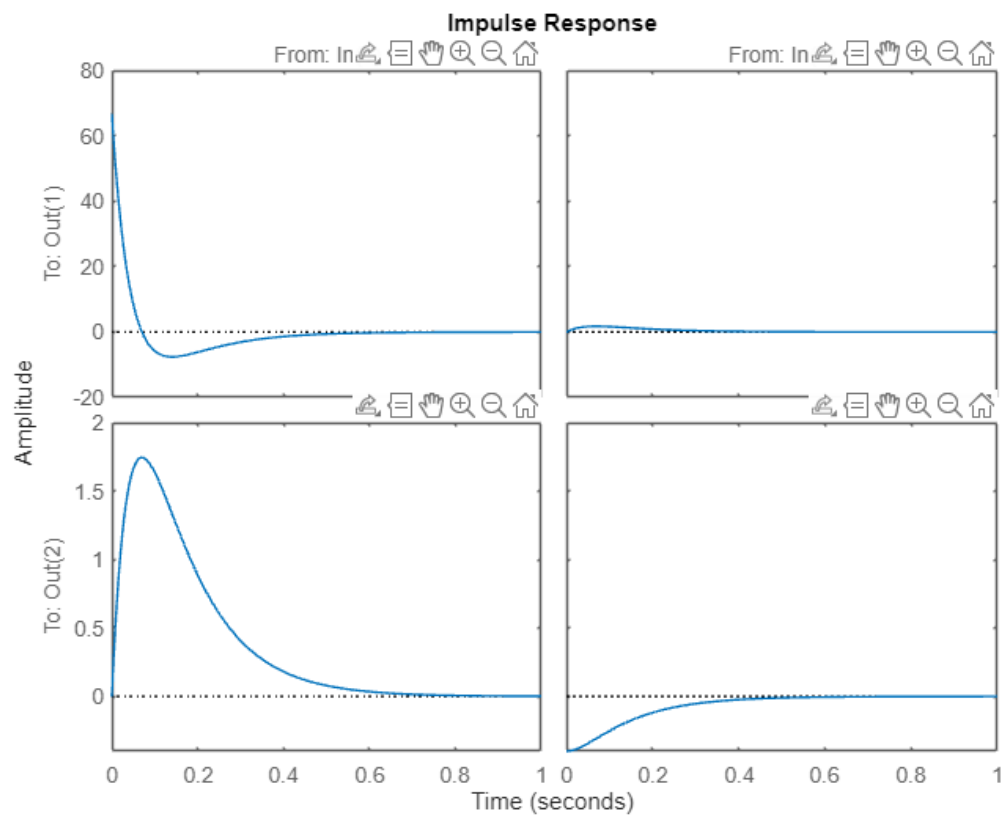
w = x(2);
dx = [-(R/L)*i-(k/L)*w+(1/L)*u;(k/J)*i-(1/J)*M];
Kod skryptu 2:
clc
clear
close all
R = 0.465;
L = 0.015;
J = 2.5;
k = 2.65;
U = 450;

A = [-R/L, -k/L; k/J, 0];
B = [1/L,0;0,-1/J];
C = [1,0;0,1];
D = [0,0;0,0];

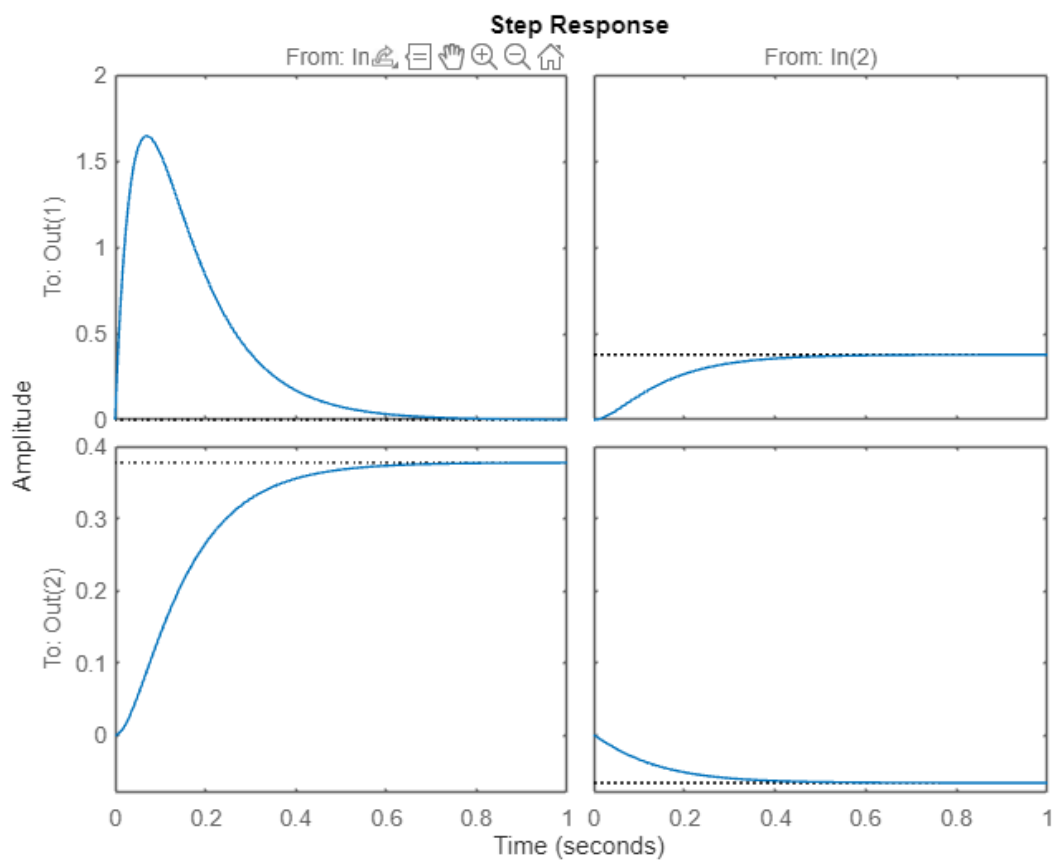
figure(1)
impulse(A,B,C,D)
figure(2)
step(A,B,C,D)
figure(3)
bode(A,B,C,D)
figure(4)
nyquist(A,B,C,D)
grid on
hold off

figure
[t,x] = ode45('silnik',[0 5], [0 0]);
plot(x,t)

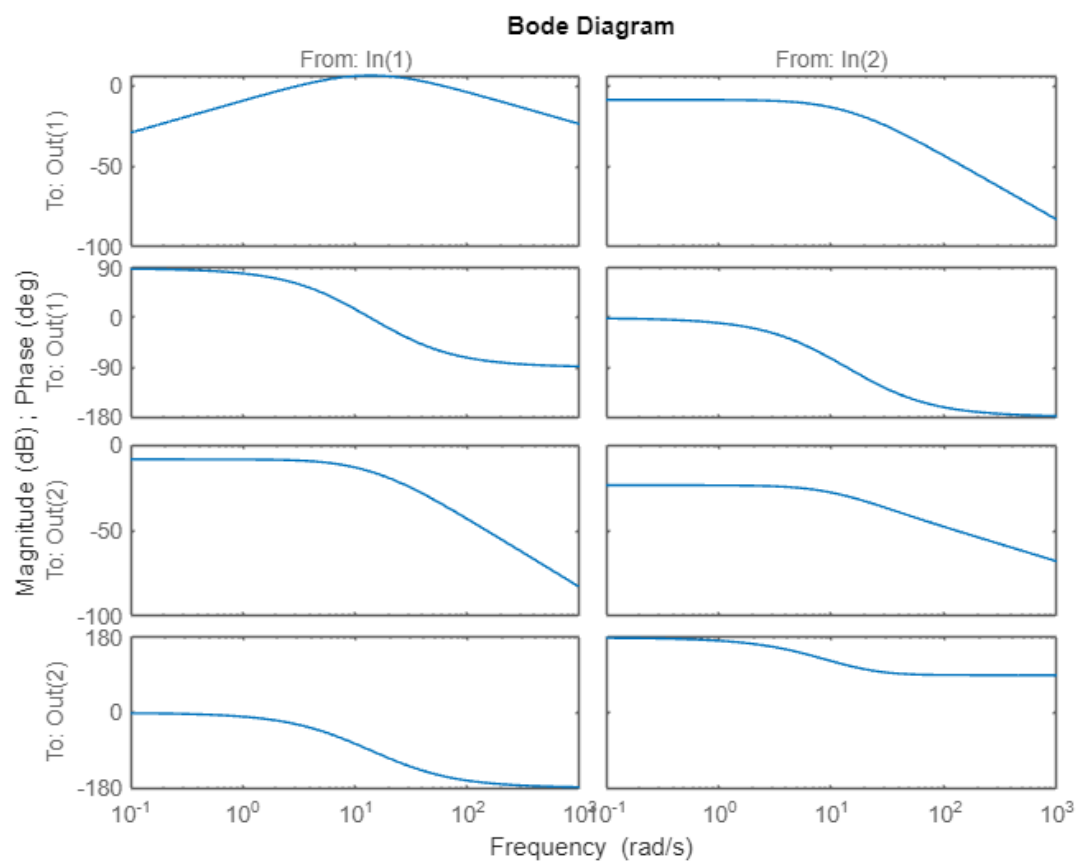
```



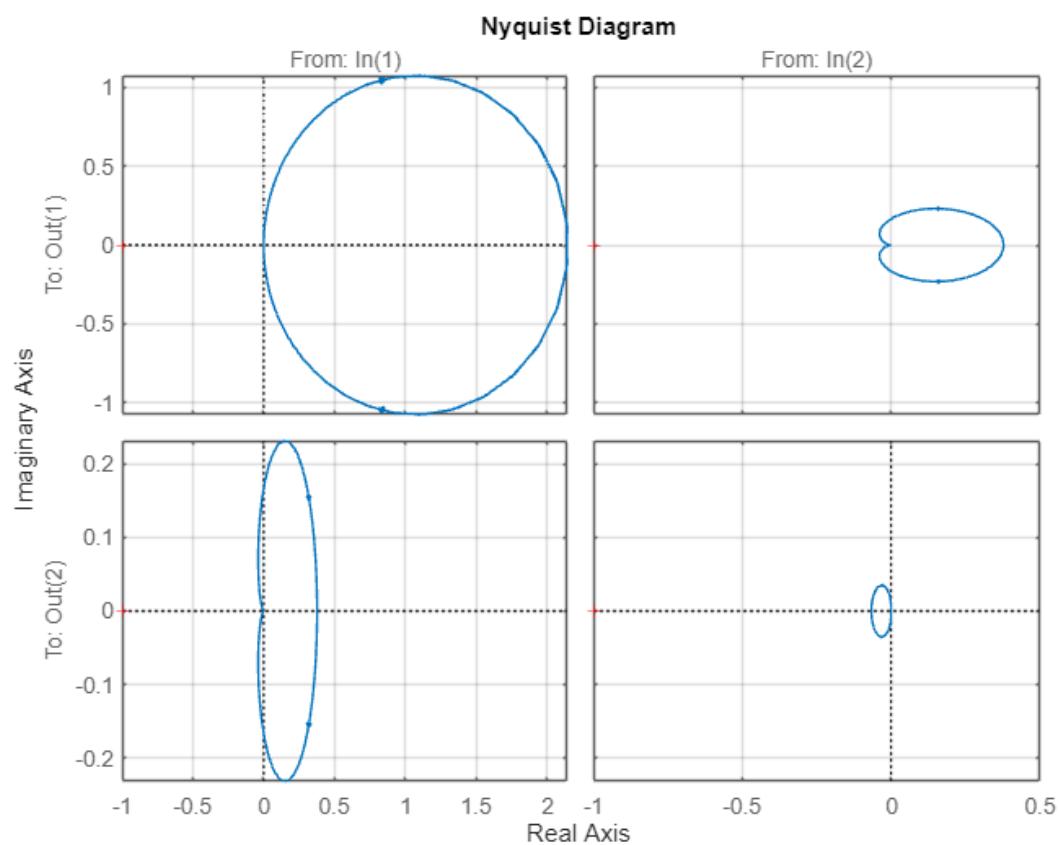
Wykres 15. Odpowiedź impulsowa



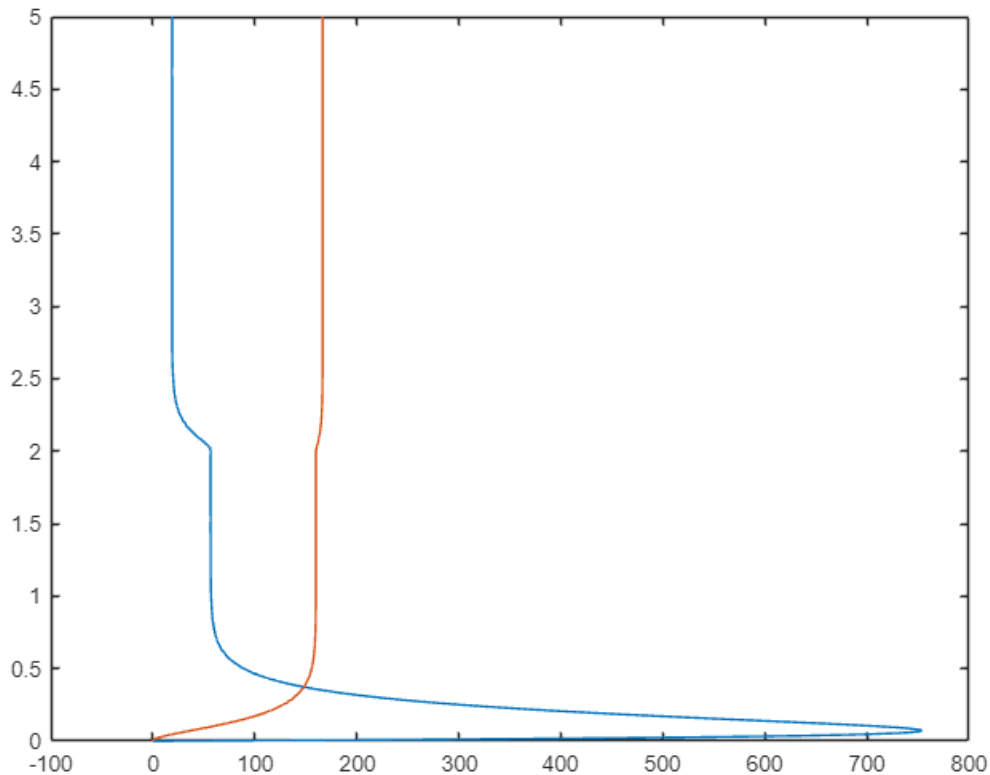
Wykres 16. Odpowiedz skokowa



Wykres 17. Charakterystyka Bodego



Wykres 18. Charakterystyka Nyquista



Wykres 19. Wykres figure[T,x]

Podsumowując, symulowaliśmy system opisany równaniami różniczkowymi w funkcji silnik, a następnie przedstawiliśmy wyniki na wykresie. Wykres pokazuje, jak zmieniają się zmienne stanu 'i', 'w' czasie od 0 do 5 sekund.

Zadanie 4.

Utworzono obiekt w Simulinku

Są dane wartości:

$R = 0.465 \, \Omega$

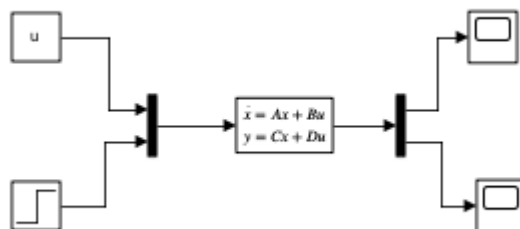
$L = 15 \, \text{mH}$

$J = 2,5 \, \text{Nm}^2$

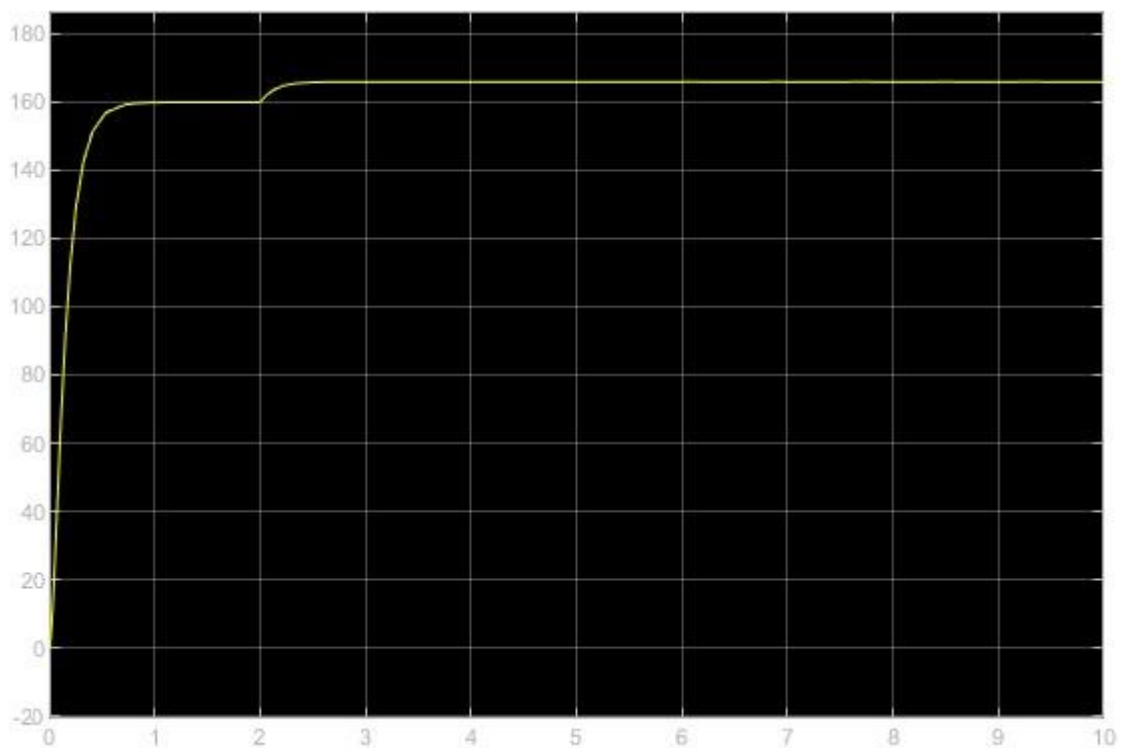
$k = 2.65$

$U = 450 \, \text{V}$

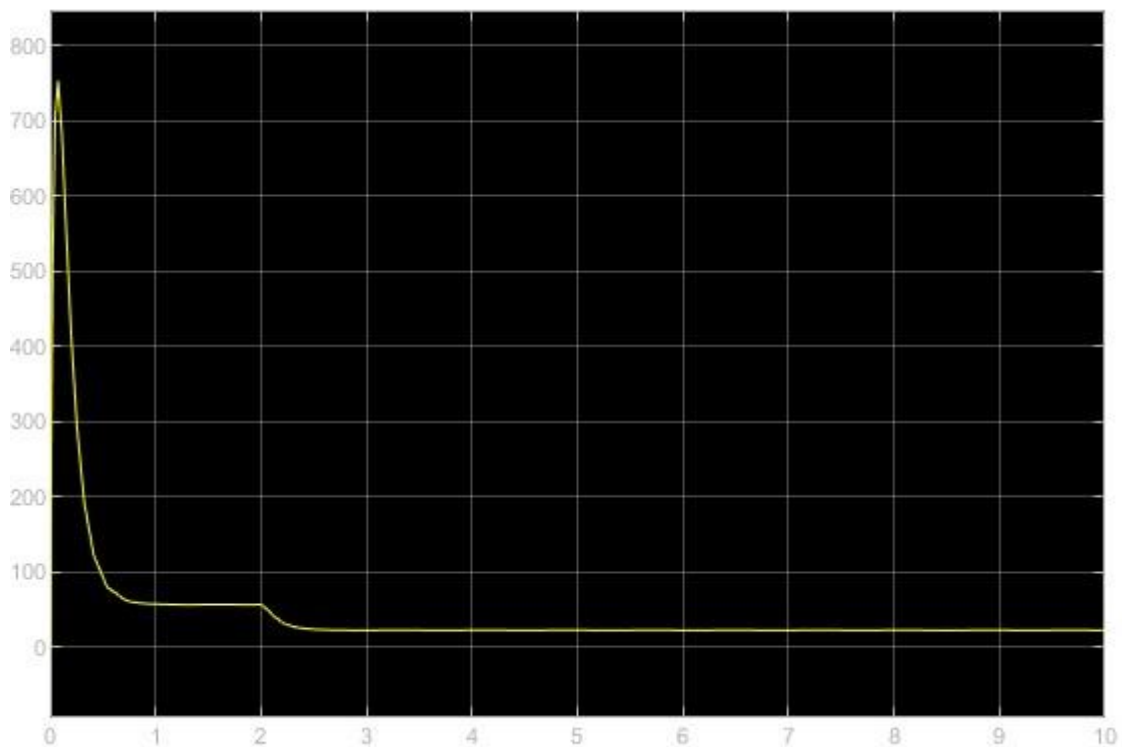
Wykorzystujemy następujące elementy: constant, step, state – space, mux



Schemat 3. Model skonstruowany w programie Simulink



Wykres 20. Odpowiedź elementu Scope 1.



Wykres 21. Odpowiedź elementu Scope 2.

Wnioski

Analizowano, jak system reaguje na różne rodzaje wejść i jak ewoluują zmienne stanu w czasie. Zmiana wartości parametrów, takich jak rezystancja, indukcyjność, moment bezwładności, wpływa na zachowanie systemu.

Analiza symulacyjna poprzez program „Simulink” pozwoliła na lepsze zrozumienie charakterystyk i właściwości silnika w odpowiedzi na różne warunki wejściowe.